УДК 528.225:629.783

ОПРЕДЕЛЕНИЕ ВЫСОТЫ СПУТНИКА «ГЕО-ИК-2» НАД МОРСКОЙ ПОВЕРХНОСТЬЮ

Д.И. Плешаков

НПК «СПП», e-mail: mrplesh@mail.ru

В статье предложен алгоритм обработки отраженного сигнала радиовысотомера САДКО, установленного на борту космического аппарата «ГЕО-ИК-2», основанный на определении четырех параметров модели Брауна с использованием нелинейного метода наименьших квадратов с коррекцией решения по типу доверительной области. Приведены результаты сравнения результатов работы алгоритма с данными спутника Jason-1.

Ключевые слова: алгоритм обработки, отражённый сигнал, нелинейный метод наименьших квадратов

В настоящее время завершается создание космической геодезической системы (КГС) ГЕОИК-2. Летные испытания ГЕОИК-2 были приостановлены. Запланировано продолжение испытаний.

В состав КГС входит наземный специальный комплекс (НСК) с полигоном калибровки высокоточного радиовысотомера (ПК ВРВ). Полигон создан для метрологической проверки ВРВ САДКО, установленного на геодезическом спутнике ГЕОИК-2.

ВРВ САДКО, поставлен фирмой Alcatel Alenia Space и является аналогом высотомера Poseidon-2. Данный высотомер обеспечивает проведение измерений на двух несущих частотах -13,575 ГГц (Ки-диапазон) и 5,3 ГГц (С-диапазон) и является эффективным средством изучения топографии морской поверхности (МП).

Радиовысотомер измеряет высоту спутника над МП. Радиоимпульс высотомера является сложно - модулированным сигналом. Непосредственно измеренной величиной является спектральная плотность свертки «эталонного сигнала» и отраженного сигнала от МП. Вид выходного сигнала приведен на рис. 1.

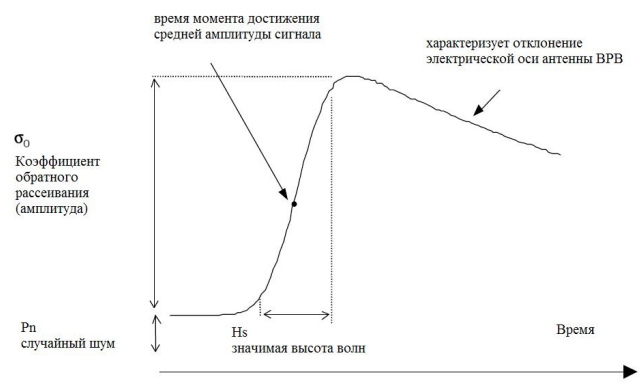


Рис. 1. График отраженного сигнала радиовысотомера

Определение высоты выполняют с использованием моделей отраженного сигнала радиовысотомера от взволнованной МП. В настоящее время существуют три основные модели: Брауна; Хайна; статистическая модель.

Наиболее широко используется модель Брауна [1]. Данная модель описывает зависимость мощности отраженного сигнала от времени (t) следующей формулой:

$$\begin{split} \overline{P}(t) &= \frac{\sigma_0}{2} \exp\left\{-\frac{4}{\gamma} \sin^2 \xi\right\} \Big[1 + erf\left(u\right)\Big] \exp\left\{-\alpha_{\xi} \left(t - \tau - \frac{\alpha_{\xi}}{2} \sigma_c^2\right)\right\} + P_n, \, (1) \\ \gamma &= 0,724 \sin^2 \Theta_{3dB}, \quad \sigma_c = \sqrt{\sigma_F^2 + \sigma_s^2}, \quad \sigma_F = \frac{0,5}{B}, \quad \sigma_s = \frac{H_s}{2c}, \, (2) \\ \alpha_{\xi} &= \frac{4c}{\gamma H \left(1 + \frac{H}{R}\right)} \left(\cos 2\xi - \frac{\sin^2 2\xi}{\gamma}\right), \quad u = \frac{t - \tau - \alpha_{\xi} \sigma_c^2}{\sqrt{2} \sigma_c}, \, (3) \end{split}$$

где Н – высота спутника;

R – средний радиус Земли;

с - скорость света;

 ξ – отклонение электрической оси антенны BPB относительно локальной нормали;

В – ширина полосы ЛЧМ-импульса ВРВ;

 Θ_{3dB} – ширина луча антенны BPB (3 дБ для антенны BPB САДКО);

erf - функция ошибок, определяемая выражением

$$erf(x) = \frac{2}{\sqrt{\pi}} \int_0^x \left[exp(-t^2) dt \right];$$

 σ_0 – коэффициент обратного рассеивания (амплитуда);

 τ – время распространения импульса от фазового центра антенны BPB до поверхности моря и обратно;

H_s- значимая высота морских волн;

 P_{n} – случайный шум.

Основными определяемыми параметрами являются:

- время момента достижения средней амплитуды сигнала т;
- значимая высота волн H_s;
- коэффициент обратного рассеивания σ_0 .

Дополнительно оценивается отклонение электрической оси антенны высотомера от местной нормали **ξ**.

Входная информация включает:

- калиброванный отраженный сигнал на двух частотах Ки и С;
- предварительные значения определяемых параметров.

Минимизируемый функционал имеет вид

$$F = \frac{1}{2} \sum_{i=1}^{N_p} q_i \left(P(t_i) - \overline{P}(t_i) \right)^2, \tag{4}$$

где $P(t_i)$ – измеренный отсчет отраженного сигнала в момент времени t_i ;

 N_p – число отсчетов, принятых в обработку;

 q_i – вес i-го отсчета, обратно пропорциональный СКП i-го отсчета.

Экспериментальные исследования показали, что минимизация данного нелинейного функционала является неустойчивой процедурой, а оптимальным методом получения определяемых параметров является метод наименьших квадратов (МНК) с коррекцией решения по типу доверительной области (модифицированный метод Левенберга-Маркварда [2]). В случае успешного решения выполняется оценка точности определения параметров по МНК.

Решение системы уравнений поправок имеет вид:

$$\begin{split} \mathbf{x}_{j+1} &= \mathbf{x}_{j} + \Delta \mathbf{x} = \mathbf{x}_{j} - \left(\mathbf{A}_{j}^{T}\mathbf{Q}\mathbf{A}_{j} + \eta_{j}\mathbf{I}\right)^{-1}\mathbf{A}_{j}^{T}\mathbf{Q}\mathbf{L}_{j}, \\ \mathbf{\eta}_{j} &= 0, \;\; \text{если,} \;\; \delta_{j} \geq \left\| \left(\mathbf{A}_{j}^{T}\mathbf{Q}\mathbf{A}_{j} + \eta_{j}\mathbf{I}\right)^{-1}\mathbf{A}_{j}^{T}\mathbf{Q}\mathbf{L}_{j} \right\| \\ \mathbf{\eta}_{j} &> 0, \;\; \text{если,} \;\; \delta_{j} < \left\| \left(\mathbf{A}_{j}^{T}\mathbf{Q}\mathbf{A}_{j} + \eta_{j}\mathbf{I}\right)^{-1}\mathbf{A}_{j}^{T}\mathbf{Q}\mathbf{L}_{j} \right\|^{2} \end{split}$$
 (5)

где Δx – вектор поправок к предварительным значениям определяемых параметров;

А – матрица коэффициентов уравнений поправок;

L – вектор коэффициентов уравнений поправок;

Q – весовая матрица.

I — единичная матрица;

.... – норма в пространстве L2;

 δ_i – радиус доверительной области;

 η_i - параметр регуляризации;

 x_{i} - вектор уточняемых параметров в j-ом приближении.

Число уточняемых параметров может изменяться в зависимости от режима работы алгоритма и выбора состава уточняемых геофизических параметров.

Использование МНК корректно при условии, что погрешности отсчетов являются случайными величинами, распределенными по нормальному закону, в связи с чем были исследованы погрешности измеренных отсчетов форм мощности. Первичные отсчеты представляют собой случайные величины, распределенные по экспоненциальному закону, т.е. их дисперсия равна квадрату амплитуды. Оценка точности выполняется на интервале 1 с. Аналогичный интервал используется для усреднения первичных отсчетов.

Альманах современной метрологии, 2015, №3

После усреднения закон распределения отсчетов приближается нормальному с дисперсией, равной исходной дисперсии деленной на число усреднений.

Число повторений импульсов зависит от комбинации импульсов в Ku- и С-диапазонах. В стандартной комбинации 2Кu1C2Кu соответствующее число усреднений будет 1600 и 400 для Ки и С-диапазона соответственно [3]. Вычисления проводились по измерениям, прошедшим предварительное усреднение и распределенным по случайному квазинормальному закону. Для 50 мс число усреднений составит 80 и 20 соответственно для Ки и С-диапазонов.

Оценкой теоретического значения погрешности отсчетов будет

$$m_{\rm i} = \begin{cases} \dfrac{\left|{\rm P_i}\right|}{\sqrt{80}}, \ {\rm для} \ {\rm Ku} \\ \dfrac{\left|{\rm P_i}\right|}{\sqrt{20}}, \ {\rm для} \ {\rm C} \end{cases}$$
 (6)

где m_i и $|P_i|$ — соответственно СКП и амплитуда i-го отсчета формы мощности.

Приведенные теоретические оценки проверены на примере реальных альтиметрических данных спутника Jason-1 формате **SGDR** (радиовысотомер Poseidon-2). Анализ сигнала проводился на интервале 10 с. усредненной Отклонения отдельных форм ОТ формы, рассматривалась как истинная, графически показаны на рис. 2 для 104 отсчетов - с 13 по 116 (а- Ки-диапазон, б – С-диапазон).

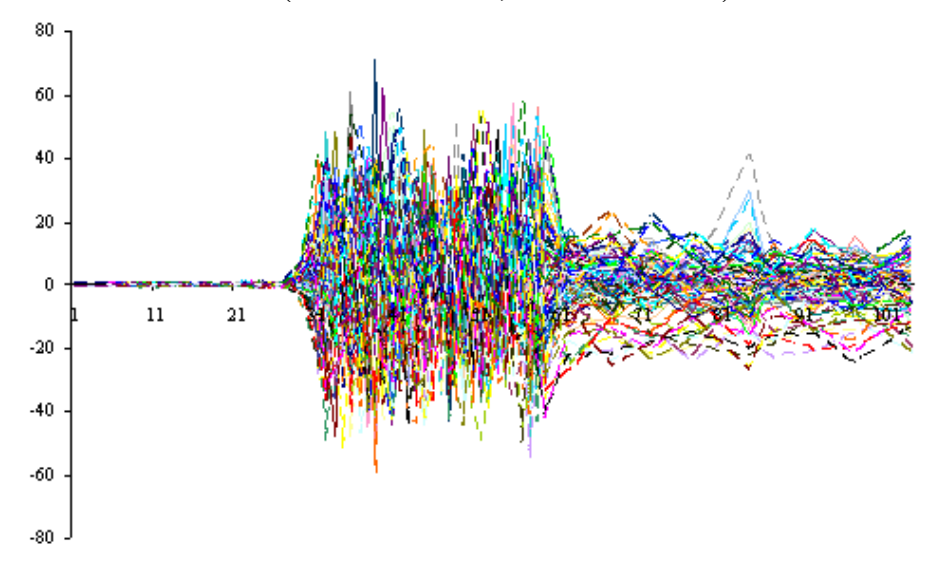


Рис. 2а. Отклонения отсчетов от усредненного сигнала на интервале 10 с

-30 -50 -70 -90 -110

Рис. 26. Отклонения отсчетов от усредненного сигнала на интервале 10 с

Полученные отклонения позволяют выделить четыре зоны с изменением дисперсии отсчетов. Первая зона – шумовая, вторая – фронтальная; третья – зона ближнего плато; четвертая – зона дальнего плато. Для проверки условия нормальности распределения погрешностей отсчетов на рис. З сопоставлены гистограммы разностей форм отдельных отсчетов в различных зонах и графики плотности нормального распределения с эмпирическими значениями, соответствующими исследуемой выборке. Под каждой гистограммой приведены значения Хи-квадрат.

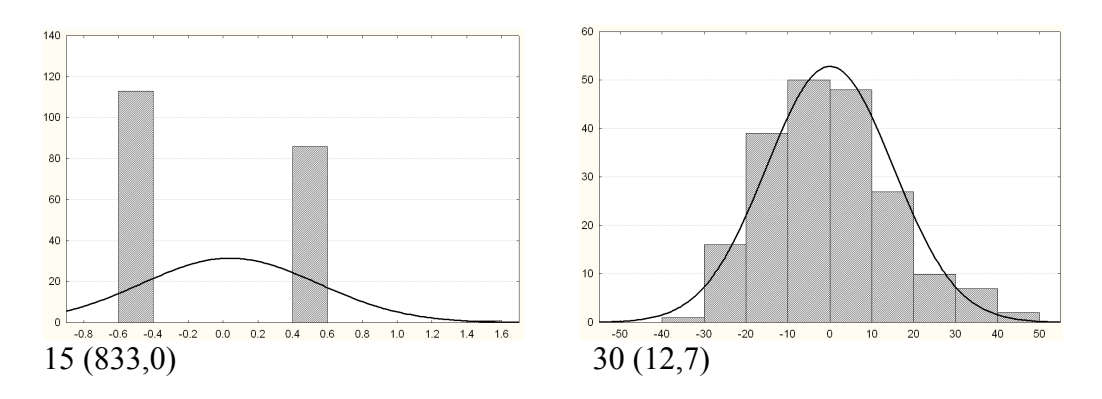


Рис. 3. Гистограммы разностей отсчетов мощности на 10 с интервале для диапазона Ки (15 – шумовая зона; 30 – фронтальная зона)

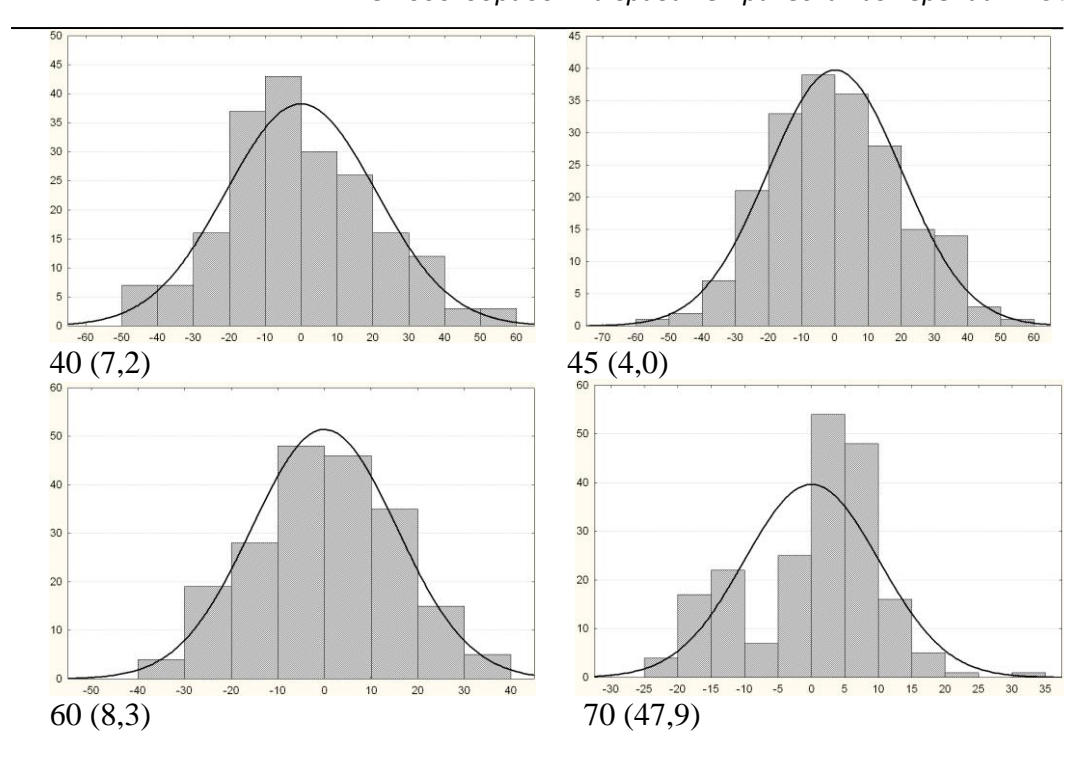


Рис. 3. Гистограммы разностей отсчетов мощности на 10 с интервале для диапазона Ku (40 – фронтальная зона; 45, 60 – зона ближнего плато; 70 – зона дальнего плато)

Результаты статистического анализа показывают, что для наиболее информативных зон фронта и переднего плато погрешности отсчетов форм мощности могут быть представлены нормальным законом распределения. Аналогичные результаты получены и для С-диапазона. Эмпирические погрешности описывается зависимостью

$$m_i \approx \begin{cases} |P_i|/8 \text{ для Ku} \\ |P_i|/4 \text{ для C}, i = 1,...128 \end{cases}$$
 (7)

которая достаточно хорошо согласуется с теоретической зависимостью (6).

Оценки точности, получаемые по МНК, должны быть масштабированы с учетом числа n отсчетов на интервале 1с. После такого масштабирования получаем:

$$\mathbf{M}_{\sigma_0} = \frac{1}{\left(\sqrt{n}\right)} 10 \cdot \log_{10} \left(1 + \sqrt{\frac{\mathbf{w}_{11}}{\sigma_0^2}}\right) \quad \text{дб, } \mathbf{M}_{\tau} = \frac{1}{\left(\sqrt{n}\right)} \frac{\mathbf{c}}{2} \sqrt{\mathbf{w}_{22}} \quad \mathbf{m},$$

$$\mathbf{M}_{S} = \frac{1}{\left(\sqrt{n}\right)} m_{S} \quad \mathbf{m}, \quad \mathbf{M}_{\xi} = \frac{1}{\left(\sqrt{n}\right)} \frac{180 \times 60}{\pi} m_{\xi} \quad \text{угл. мин,}$$
(8)

где М – масштабированные значения СКП, полученные на интервале 1с.

Альманах современной метрологии, 2015, №3

Оценки, полученные по формулам (8) для трехпараметрической модели (τ, σ_0, H_S) , представлены в виде графиков на рис. 4 в зависимости от высоты значимых волн (SWH). По левой оси отложены значения СКП τ, σ_0 , соответственно в метрах и децибелах.

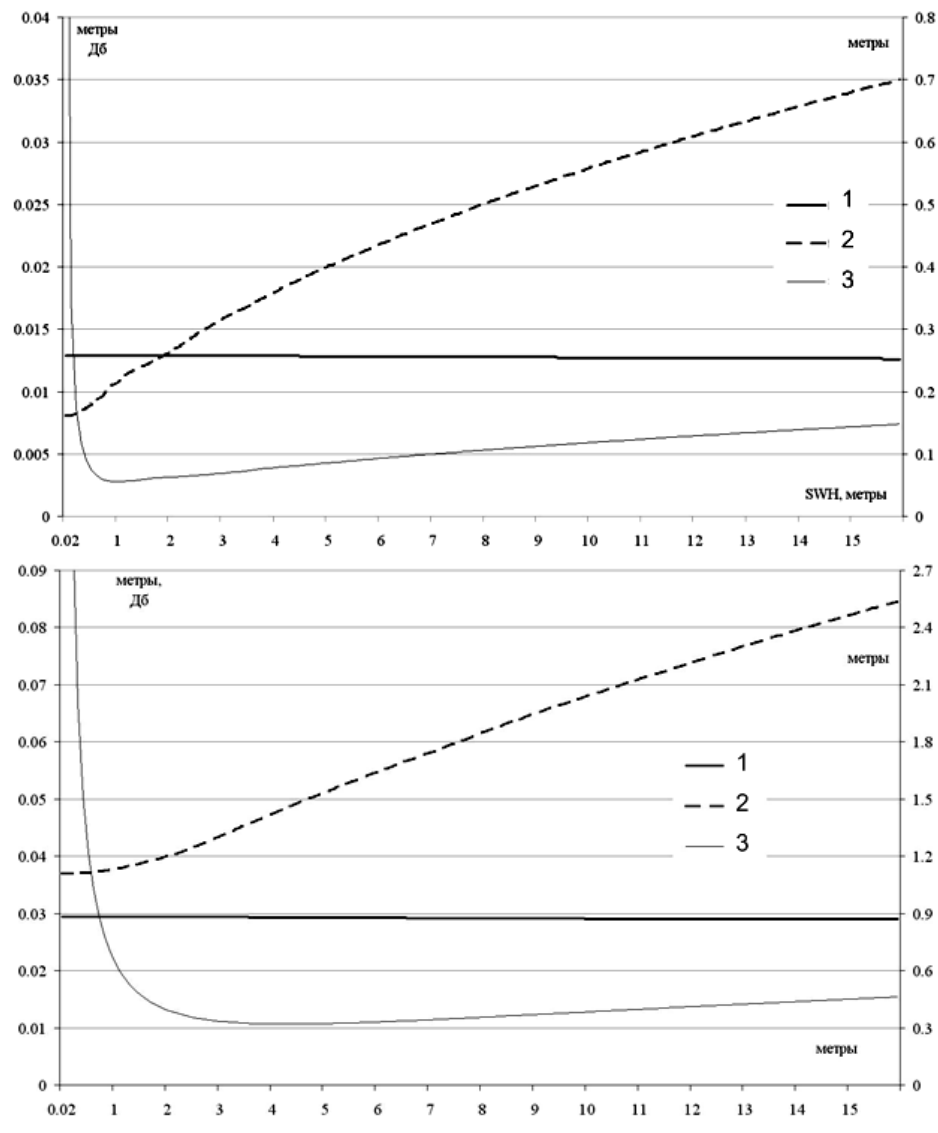


Рис. 4. Зависимость оценок точности параметров $\sigma_0(1)$, $\tau(2)$, $H_S(3)$ от величины SWH (а – Ки-диапазон; б – С-диапазон)

По правой оси отложены значения СКП H_S в метрах. Графики характеризуют предельно достижимые оценки точности основных параметров в каждом из двух диапазонов. Оценки погрешностей определения параметров для C-диапазона в 2-3 раза превосходят

Альманах современной метрологии, 2015, №3

соответствующие оценки для Ки-диапазона. Аналогичные графики для четырехпараметрической модели $(\tau, \sigma_0, H_S, \xi)$ приведены на рис. 5.

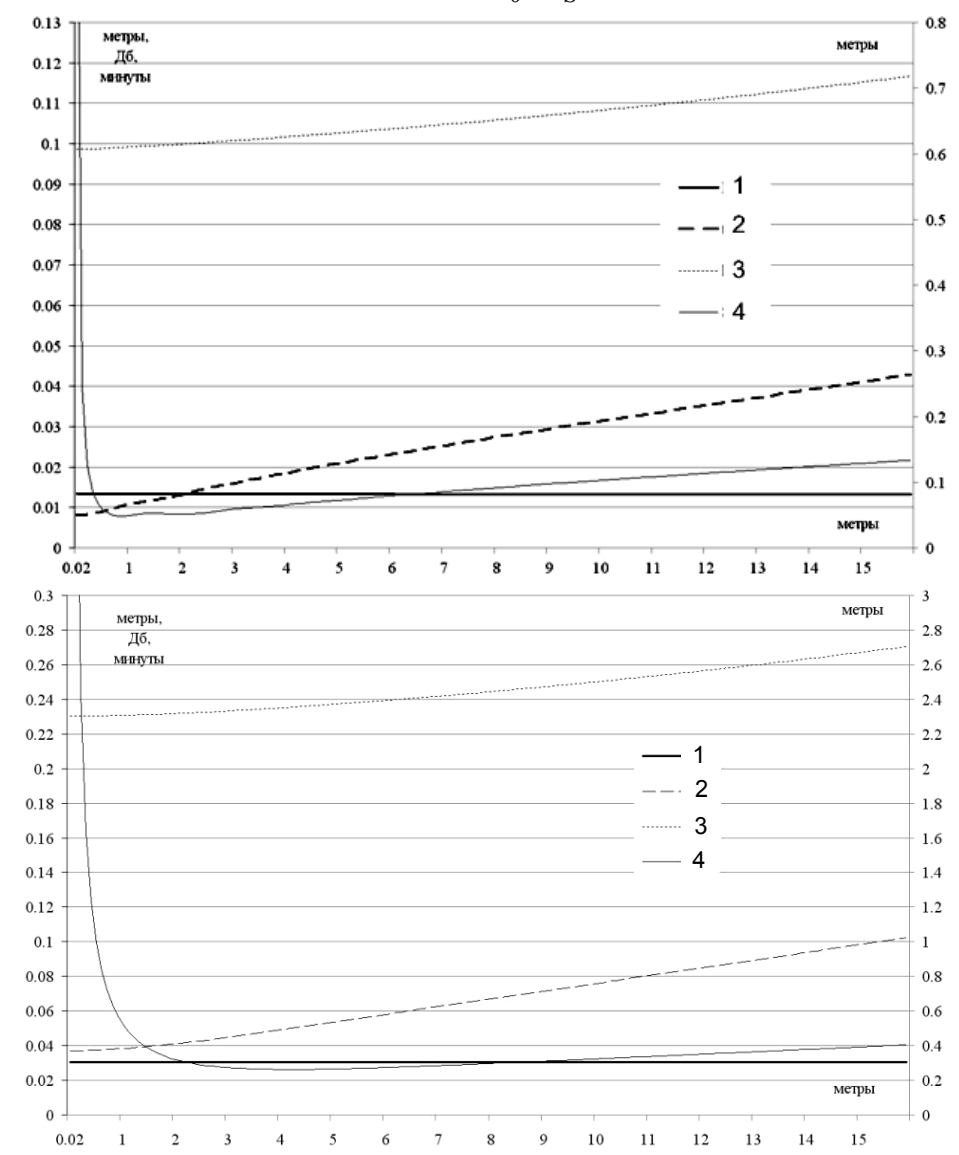


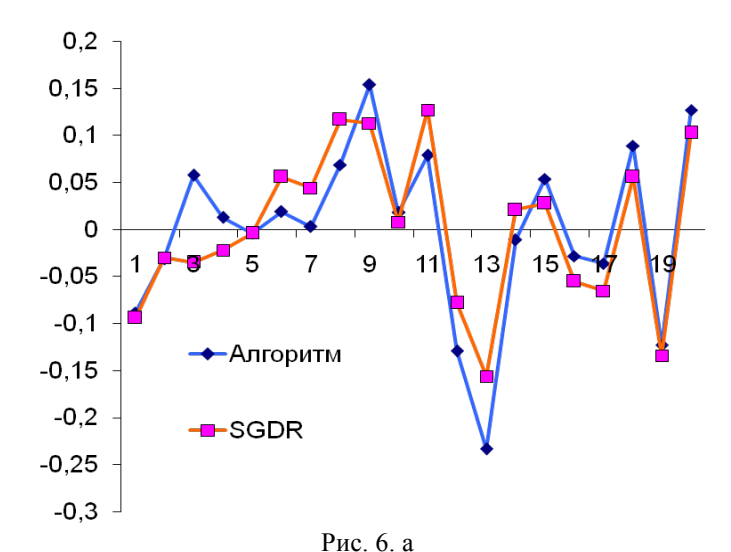
Рис. 5. Зависимость оценок точности параметров $\sigma_0(1), \tau(2), \xi(3), H_S(4)$ от величины SWH (а – Ки-диапазон; б – С-диапазон)

По левой оси отложены значения СКП τ , σ_0 , ξ соответственно в метрах, децибелах и угловых минутах. По правой оси отложены значения СКП H_S в метрах. Из этих графиков видно, что добавление четвертого параметра может приводить к некоторому ухудшение точностных характеристик по сравнению с трехпараметрической моделью. Однако полученные оценки

более объективны, поскольку, как было отмечено, влияние угла отклонения оси антенны существенно. Принятое в оценочных расчетах начальное значение $\xi=10'$ близко к максимально допустимому отклонению оси (12'). Графики показывают, что в процессе обработки результатов измерений возможно уточнение угла отклонения до уровня СКП \sim 6-7" (по данным Кидиапазона).

Таким образом, подход к оценке формирования измерений высоты КА и сопутствующих геофизических параметров по измерительной информации ВРВ может базироваться на использовании МНК. Корректность применения МНК в статистическом смысле обоснована результатами экспериментальных исследований по обработке реальной высотомерной информации, показавшими, что закон распределения погрешностей отсчетов мощности в информативной части эхо-сигнала ВРВ близок к нормальному. Полученные результаты показывают, что обеспечить заданную погрешность определения высоты спутника 5 см возможно при максимальных отклонениях антенны ВРВ 12' и высотах значимых волн до 16 метров.

Разработанный алгоритм определения высоты спутника над морской поверхностью был опробован при обработке первичных альтиметрических данных Jason-1 в формате SGDR на 1 с интервалах (по 20 измерений по 50 мс). Результаты сравнения высот, вычисленных по алгоритму, с данными Jason-1 на двух интервалах приведены на рис. 6 (а, б).



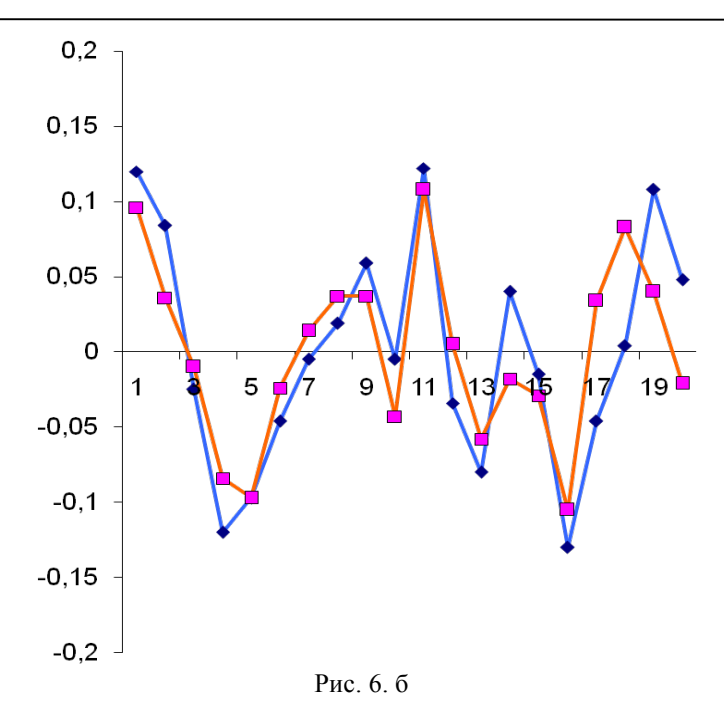


Рис. 6. Результаты сравнения алгоритма с данными Jason-1 SGDR на двух интервалах по 1 с в метрах

Результаты сравнения показывают, что расхождения 50 мс измерений находятся на сантиметровом уровне, что позволяет сделать вывод о корректности предложенного алгоритма.

Литература

- 1. Brown G. S. The Average Impulse Response of a rough surface and its applications // IEEE Trans. Antennas Propag 1977, 25.
- 2. Дэннис Д., Шнабель Р. Численные методы безусловной оптимизации и решения нелинейных уравнений. М.: Мир, 1988, 440 с.
- 3. Attachment B. Sadko altimeter requirement specifications / AAS 2007.